Литература

- 1 Мартьянов, Ю. В. Современные тенденции и перспективы развития производства проволоки и металлокорда для автомобильных шин / Ю. В. Мартьянов // І Международный молодежный научно-культурный форум студентов, магистрантов, аспирантов и молодых ученых : сб. материалов, Гомель, 5–7 марта 2024 г. / Гомел. гос. техн. ун-т им. П. О. Сухого. Гомель, 2024. С. 125. EDN OJAOIG.
- 2. Бобарикин, Ю. Л. Исследование процесса рихтовки тонкой высокоуглеродистой стальной проволоки / Ю. Л. Бобарикин, Ю. В. Мартьянов, О. Ю. Ходосовская // Современные методы и технологии создания и обработки материалов: сб. науч. тр. / Физ.-техн. ин-т НАН Беларуси; редкол.: В. Г. Залесский (гл. ред) [и др.]. Минск, 2024. С. 288–293.

## ИССЛЕДОВАНИЕ ЭЛЕКТРОИМПУЛЬСНОГО НАНЕСЕНИЯ ПОРОШКОВОГО КОМПОЗИЦИОННОГО ПОКРЫТИЯ

#### А. Д. Тамков

Учреждение образования «Гомельский государственный технический университет имени П. О. Сухого», Республика Беларусь

### Научный руководитель А. Н. Швецов

Экспериментально определено электросопротивление антифрикционного композиционного материала для расчета температуры в зоне контакта при электроимпульсном нанесении антифрикционных металлофторопластовых порошковых покрытий.

**Ключевые слова:** электроимпульсное спекание, пресс-форма, электросопротивление композиционного материала.

Одним из перспективных методов нанесения износостойких самосмазывающихся порошковых покрытий является метод электроимпульсного спекания [1]. Данный способ позволяет получать покрытия из антифрикционного металлофторопластового порошкового материала, имеющего расширенный диапазон эксплуатационных свойств за счет возможности совместного использования фторопластового и металлических компонентов.

На основании известных физических величин температура в зоне деформации при пропускании через нее электрического тока определяется по зависимости [2]:

$$T_{\kappa} = \frac{I^2 \cdot t_{\rm c} \left[ 4\rho \cdot h / d_t^2 + R_{\rm M} \right]}{4m\sqrt{\lambda \cdot \gamma \cdot c} \cdot v \cdot \delta \cdot \sqrt{t_{\rm c}}} + \frac{P_{\rm m} \cdot h_{\rm m}}{4m\sqrt{\lambda \cdot \gamma \cdot c} \cdot S \cdot \sqrt{t_{\rm c}}},\tag{1}$$

где I — сила тока, A; m=1/2 — коэффициент, учитывающий неравномерность падения температуры;  $t_{\rm c}$  — время сварки, c;  $R_{\rm m}$  —электросопротивление материала, Ом;  $\rho$  — удельное электросопротивление, Ом · м;  $h_{\rm n}$  — толщина проплавления, м;  $d_t$  — диаметр точки проплавления, м;  $\lambda$  — плотность материала, кг/м³;  $\gamma$  — коэффициент теплопроводности материала,  $B r/(m \cdot K)$ ; c — удельная теплоемкость материала, Дж/К · кг; v — скорость движения роликов, м/с; h — начальная высота полосы до прокатки, м;  $P_{\rm g}$  — контактное давление,  $\Pi$ a; S — площадь контакта прокатываемого материала с валками-электродами, м².

При расчете температуры в зоне контакта по данной зависимости наибольшую трудность составляет определение электросопротивления композиционной составляющей.

Целью данной работы являлось экспериментальное определение электросопротивления при нагреве антифрикционных композиционных материалов.

В качестве исследуемой композиции была выбрана следующая антифрикционная металлофторопластовая порошковая смесь при следующем соотношении компонентов, мас. %: Fe -62,5-77,0, ПТФЭ-4 -5-10, Cu -5-10, Ni -5-10, Sn -1-2,5, омедненного графита -4-5.

Для экспериментального определения электросопротивления была создана и использована опытная установка, структурная схема которой представлена на рис. 1. В соответствии с ней источник питания и измерительный мост подсоединен к прессформе, на которую воздействует исполнительная машина. Показания электросопротивления композиционного материала определялись с помощью гальванометра.

Также разработана и изготовлена пресс-форма, конструкция которой приведена на рис. 2.

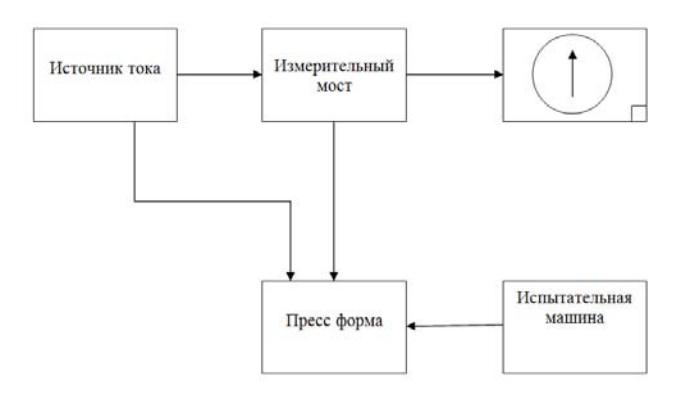
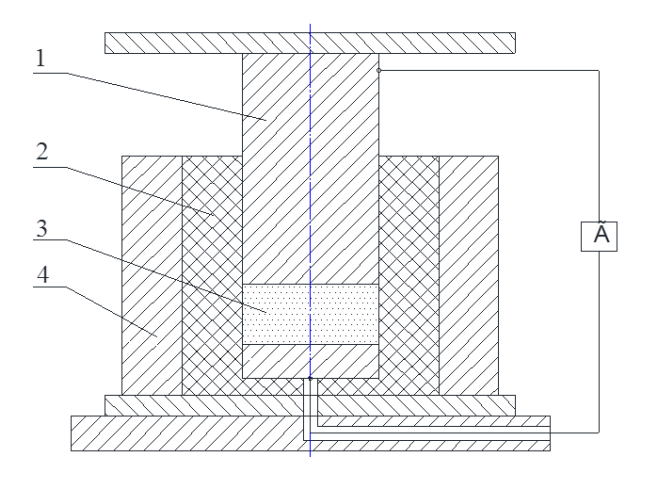


Рис. 1. Структурная схема опытной установки



 $Puc.\ 2.$  Конструкция пресс-формы: I – пуансон; 2 – электроизоляционный материал; 3 – композиционный материал; 4 – матрица

Для определения электросопротивления композиционного материала использовался статистический метод планирования многофакторного эксперимента. В качестве варьируемых факторов были выбраны температура и давление, воздействующие на композиционный материал.

Предварительно методом «крутого восхождения» с учетом технических характеристик экспериментальной установки была экспериментально определена область изменения интервалов варьирования. Дальнейшее исследование совместного влияния варьируемых факторов проводилось с помощью метода рототабельного планирования.

Для проверки однородности дисперсий параллельных опытов использовался критерий Кохрена. Гипотеза об однородностей дисперсий была подтверждена при уровне значимости  $\alpha=0,5$ , что позволяет использовать регрессионный анализ и провести статистическую обработку полученных результатов эксперимента. Коэффициенты регрессии рассчитывались на ЭВМ.

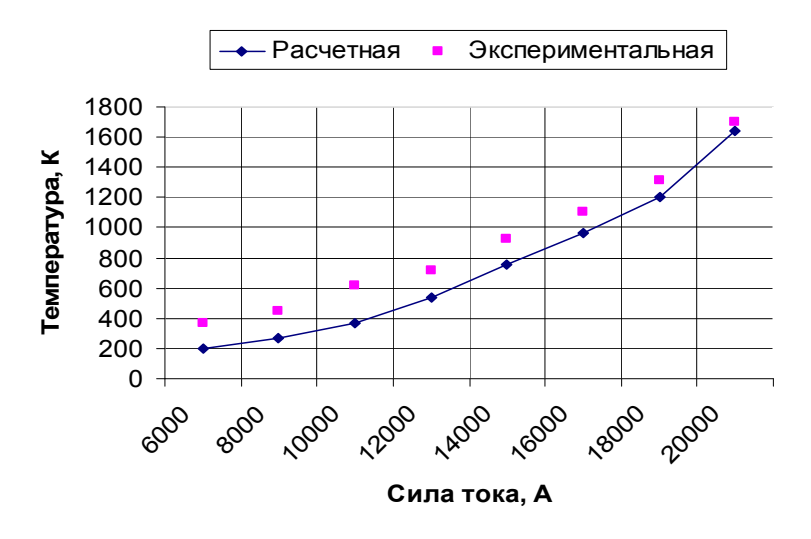
После обработки экспериментальных данных было получено уравнение регрессии, отражающее влияние факторов на исследуемую функцию. Проверка адекватности математической модели проводилось с помощью F-критерия Фишера для уровня значимости  $\alpha=0.05$ .

Уравнение регрессии для определения электросопротивления:

$$R = 1,56931 - 0,0246 \cdot T_k + 0,00009 \cdot T_k^2 - 1,35585 \cdot P + 0,3031 \cdot P^2 + 0,0107 \cdot T_k \cdot P.$$
 (2)

После подстановки значений в уравнение (1), которое решалось с помощью ЭВМ, рассчитанные значения температура в зоне контакта проверялись экспериментально с помощью скользящей термопары.

На основе экспериментальных и расчетных данных была построена зависимость температуры в контакте от импульсного электротока (рис. 3).



*Рис.* 3. Зависимость температуры от величины электроимпульсного тока: 1 – экспериментальная температура; 2 – расчетная температура

Как видно из графика рис. 3, характер изменения экспериментальной и теоретической температуры в контакте от давления одинаков. Это позволяет сделать заключение, что полученное уравнение регрессии для определения электросопротивления верно описывает данный процесс. Несколько завышенные значения экспериментальной температуры по сравнению с расчетной связаны с тем, что при расчете сопротивления деформации для определения давления при горячей прокатке термомеханические коэффициенты принимались как для компактного железного материала без посторонних включений.

Литература

- 1. Патент РБ № 18498. Способ получения покрытия из антифрикционного металлофторопластового порошкового материала / Бобарикин Ю. Л., Швецов А. Н., Шишков С. В. 2010.
- 2. Кочергин, К. А. Контактная сварка / К. А. Кочергин. Л. : Машиностроение, 1987. 240 с.

# ВЛИЯНИЕ РЕЖИМОВ РЕЗАНИЯ НА СТОЙКОСТЬ ФРЕЗЫ С ИСПОЛЬЗОВАНИЕМ РАЗЛИЧНЫХ СОТС

### Э. Р. Ваниев, Э. Ш. Джемилов, Э. Л. Бекиров, А. В. Крыжановский

Крымский инженерно-педагогический университет имени Февзи Якубова, г. Симферополь, Республика Крым

Приведены результаты моделирование стойкости инструмента от режимных параметров приработки, а также режимов резания приработанного инструмента и исследование их влияния на стойкость зубьев фрез отдельно для каждой из используемых технологических сред.

**Ключевые слова:** СОТС, фрезерование, режимы резания, стойкость, приработка, моделирование.

**Постановка задачи и цель исследований.** Фрезерование представляет собой разновидность механической обработки, функционирование которой как системы зависит от множества факторов (переменных), обуславливающих как протекание процесса резания в виде физико-химических явлений его сопровождающих, так и его выходные характеристики – производительность и себестоимость обработки, стойкость инструмента, показатели качества поверхности и др. [1–3].

Рассмотрение системы механической обработки и особенностей процесса резания как совокупности взаимосвязанных явлений, возникающих при образовании структуры, позволяет утверждать, что использование смазочно-охлаждающих технологических средств (СОТС) оказывает существенное влияние на их интенсивность и тем самым влияет на стойкость инструмента.

В современной теории резания процесс стружкообразования рассматривается как термомеханический процесс [2, 3], определяемый множеством взаимосвязанных первичных параметров механической обработки. Учитывая это, влияние СОТС на механизм процесса резания без взаимосвязи с другими факторами не может быть установлено в такой мере. Однако влияние СОТС на параметры процесса резания во взаимосвязи с другими факторами, определяющими систему механической обработки, практически не исследовано.

Исходя из термомеханического подхода в теории резания контактные нагрузки, действующие на инструмент, и температура резания для пары «обрабатываемый материал—инструмент», прежде всего, определяются режимами резания и СОТС, в присутствии которой происходит обработка. Поэтому исследование влияние режимов резания в некотором диапазоне их изменения и различных СОТС на стойкость инструмента при фрезеровании стали 12X18H10T является актуальной задачей и имеет большое практическое значение при разработке рекомендаций по использованию СОТС в различных условиях эксплуатации.

Цель исследования — установление влияние режимов резания на стойкость быстрорежущих фрез при использовании различных СОТС с использованием технологии минимальной смазки (ТМС) для разработки рекомендаций по рациональному использованию технологических сред при обработке стали 12X18H10T.